

I-60 変断面構造の応力波伝播解析

広島大学工学部 正員 ○佐藤 誠
広島大学工学部 学生員 原 誠己

1. はじめに

本研究は図-1に示すよう午断面が階段状に変化する変断面構の一端に、棒軸方向に織衝撃を加えた場合の応力波伝播機構を解析したものである。

従来この種の変断面構の解析においては St. Venant の1次元波動解^(*)、たとえば図-1の場合には2層構問題として適用して来た。との際変断面境界の不連続面で両層の変位速度および力が等しいという境界条件で求められた透過反射係数を用いる。しかししながらこの境界条件は両層の断面積比($K = A^{\text{II}}/A^{\text{I}}$)が増加すると1次元問題としては取扱えなくなり、その結果不連続面での反射、透過にあずかる断面積は実際の断面積とは異なることが予想され、その適用範囲に限界があると考えられる。そこで以下では動光弹性実験および波動方程式の差分解を用いてこの点および応力波伝播機構について考察した。

2. 模型および計算

厚さ1cmのエポキシ樹脂(アラルダイ+B)

$\Delta x = \Delta y$	0.25 cm	$P(t)$	$\sin \frac{\pi}{\Delta x} x$ (半波長)
Δt	0.5×10^{-6} sec	E	3.15×10^4 kg/cm ²
V	0.30	ρ	$1.278/cm^3$

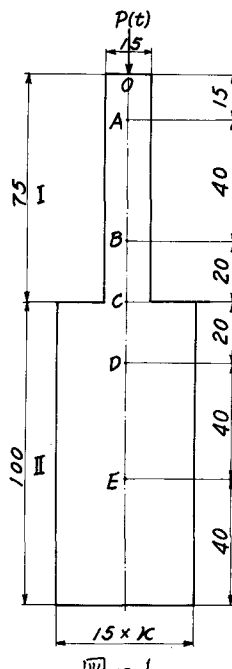
板より製作した図-1に示すよう午 $K = 1.5$,

2, 2.5(2.667), 3, 4 の5種類の変断面構

模型に対して卓上ポンプ銃弾で織衝撃した。

表-1

入力波長は約 $80 \mu\text{sec}$ である。差分計算に用いた諸定数を表-1に示す。



3. 実験および計算結果の考察

写真-1, 2 に K のそれぞれの値について衝撃後 $50 \mu\text{sec}$ やり $70 \mu\text{sec}$ における尋色線写真を示す。写真-1は不連続面に wave front が到達して球根状の波面が発達している段階のものであり、 $K = 1.5$ の場合には不連続面から約 2 cm 遠ざた位置ですべて wave front が水平になり、この位置以後では応力分布がほぼ一様である。写真-2は不連続面に入力波のピークが近づいた段階のもので、 $K = 1.5, 4$ 以外については K の大きさの順に不連続面から約 3, 3.5, 4.5 cm の位置で応力分布が横断面に一様になりつつあることがわかる。これらの結果から動的挙動においても変断面の幾何学的形状に対する warping の影響を無視すれば、St. Venant の原理が適用でき、変化した断面の linear dimension だけ離れた位置では織衝撃に対して平面保持が成立すると考えられる。しかしこれらの写真だけからは明確ではないが、平面保持までの位置において K が増大すると衝撃方向に平行な境界からの反射波の発達が著しい。

^(*)丹羽義次・佐藤誠「織衝撃を受ける多層構内の応力波伝播に関する実験的研究」、土木学会論文集第151号、pp. 27~28、昭43.3

写真-2 衝撃後 $70 \mu\text{sec}$ 後の着色線写真

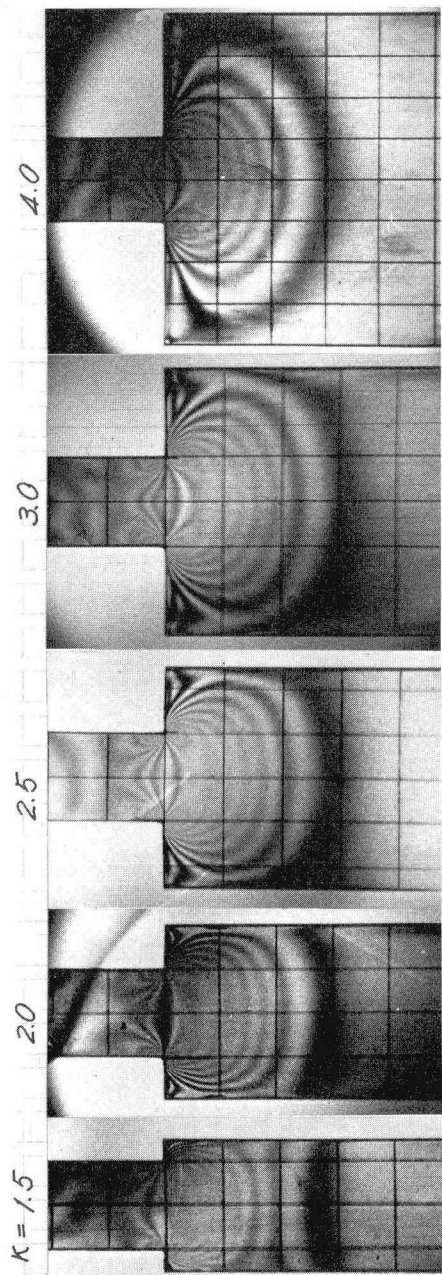


写真-1 衝撃後 $50 \mu\text{sec}$ 後の着色線写真

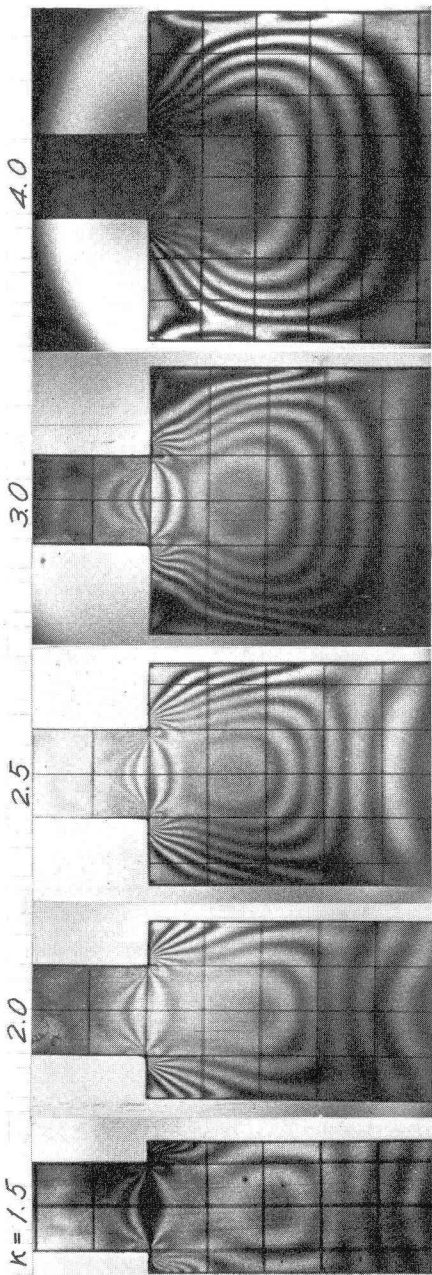


図-2は図-1に示したB,D,E桌での衝撃方向のひずみ変化をK、諸値Kに対して示したものである。本お差分間隔の取り方を一定としたためK=2.5の代りにK=2.667と書いてある。

B桌においてはKが大きい場合にもほとんど差がない。特に $90 \mu\text{sec}$ 附近において現われる不連続面からの反射の影響はKが増加するほど大きく現われる傾向を持つが、余り差がない、実際の断面変化に対するひずみの反射係数 $\alpha^{(E)}$ の変化が極めて少ないと推定される。

D桌についてはKが増加するにつれてピークがやや増加し、ピークの現われる時刻が次第に遅れて

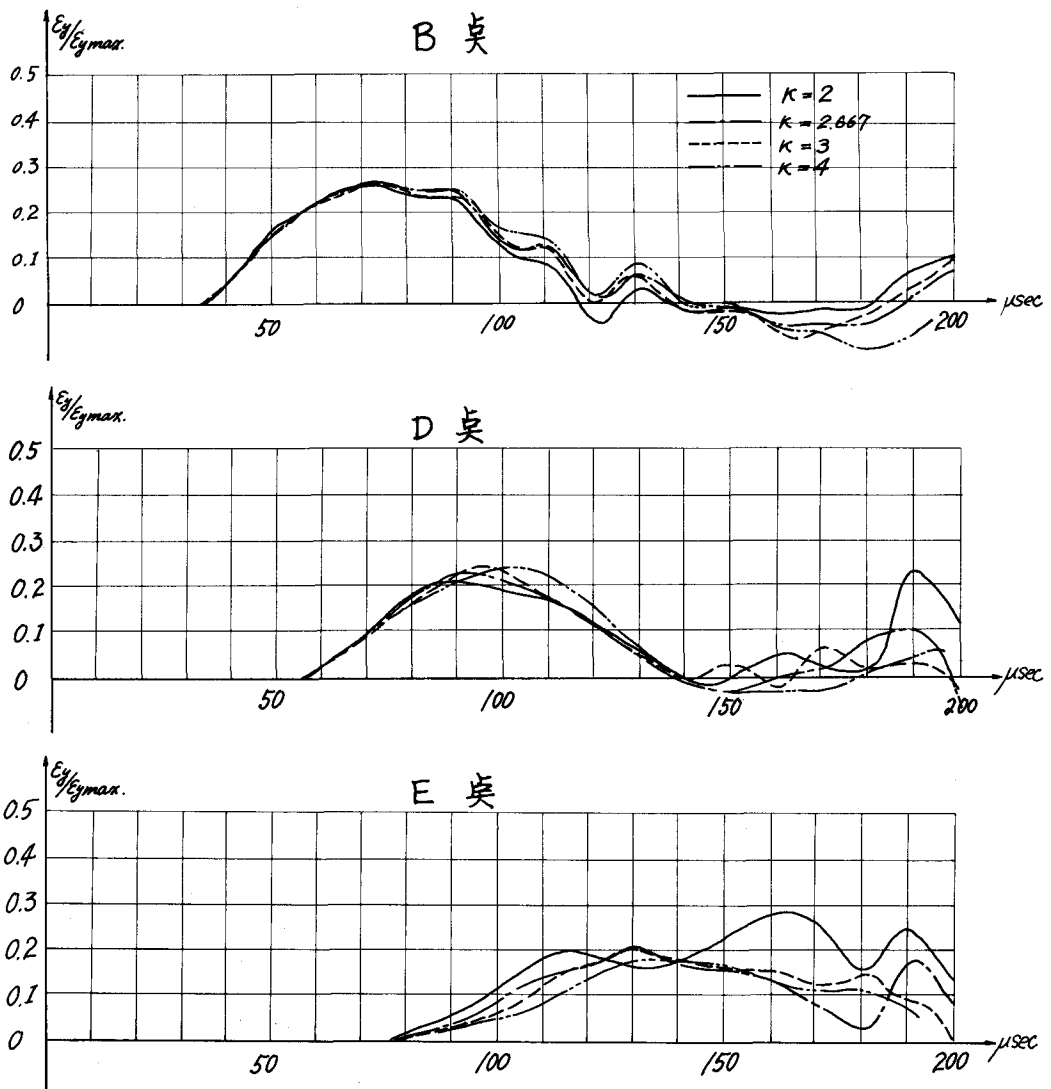


図-2 K の諸値に対する各處でのひずみ (E_y) 変化

いき、このことは層Ⅱの断面積が層Ⅰより増加しているため、透過波の分散 (dispersion) が起り、見かけ上の伝播速度が減少していることを示している。この現象はひずみレベルが高くするほど著しい。またB處でのピークとD處でのピークに透過係数 $\beta^{(1)}$ から計算される程の差がないのは、この位置ではひずみ分布が断面に一様でなく、断面内で中心線寄りにピークを持つ分布を持っているためである。これらのことは写真-2からも明らかである。

E處においては写真-2からも明らかをようく K のいかれたりつてもほとんど一様なひずみ分布を持つ位置であり、 E_y のピークはB處のそれの約76%ではほぼ一定である。このことは透過係数もまた K の変化にかかわらず一定に近い値を持つことを示す。

以上はひずみ変化をもとに主としてひずみの透過反射について考察したが、次に応力についての考察を行なう。St. Venant の1次元波動解に用ひる反射・透過係数は応力といずみについてはそれが

れ $\alpha^{(e)}$, $\beta^{(e)}$, $\alpha^{(w)}$, $\beta^{(w)}$ として次式とする^{**)}

$$\alpha^{(e)} = \alpha^{(w)} = -\frac{A_I C_I - A_{II} C_{II}}{A_I C_I + A_{II} C_{II}},$$

$$\beta^{(e)} = \frac{2A_I C_{II}}{A_I C_I + A_{II} C_{II}}, \quad \beta^{(w)} = \frac{2A_{II} C_I}{A_I C_I + A_{II} C_{II}} \cdot \frac{C_I}{C_{II}}$$

こゝで A は断面積, C は縦波の伝播速度であり、添字は層を示す。

図-3 は応力についての反射・透過係数の理論値および計算(差分解)より求めた反射・透過係数を示す。なお伝播速度は $C_I = C_{II}$ とし用いた。

以下では考え方とする。B 桌の応力はすべてその表を通る断面の衝撃方向の平均応力を採用した。

反射係数は A 桌にピークが到達したときの A 桌の応力を a , そのときの B 桌の応力を b , B 桌にピークが到達したときの B 桌の応力を c として、 $\alpha^{(e)} = (c-a)/b$ から求めたものである。

ピークにおける透過係数は a を基準として D, E 桌での応力をから求めたものである。その結果反射係数は K の増加とともに増加する傾向を持つが、全体としては $K=1.5$ に対する理論値に近い一定値となっている。このことは前述のひずみの反射係数と同じである。 $\alpha^{(e)} = \alpha^{(w)}$ であることをも示す。また $K=1.5$ に対する値に近いことは、こゝには示していない主応力線図、および写真-2 の不連続面での等色線の分布の様子から、層 II の断面積のうち反射透過におけるものは実際よりも小さく、しかも $K=1.5$ に近いことから説明できる。

透過係数については、全体に理論値より大きくなっている。このことは反射係数の考察から明らかである。ただし $\alpha^{(e)} + \beta^{(e)} < 1$ とあっては、これは不連続面での分散と、 δy の方向と主応力方向との影響をつけていたためと考えられる。またひずみの透過係数についての考察ではほぼ一定値であるが、応力の場合には K の増加とともに減少している。これは上式において $\beta^{(e)}$ と $\beta^{(w)}$ の比較から応力波が不連続面を通過した後の分散効果による層 II 内での伝播速度の減少を考慮すれば、その影響は $\beta^{(e)}$ より著しく現われ、実際の $\beta^{(e)}$ はより大きくなりしかも分散効果は K の増加につれて増加するからこれらの理由によると解釈される。

wave front K に対する透過係数はピークではなく wavefront 近くの応力を比較して求めたものである。理論値よりも小さく、この表については不連続面を応力波が通過する際に時間とともに反射透過係数が変化することが推定されるが、いま十分説明できない。

4.まとめ

以上のことより、こゝで考えた入力波長と被断面積の dimension K については、少くとも反射係数は応力、ひずみとともに $K \approx 1.5$ が支配されること、しかも両層の断面積比 α はなく不連続面 $\approx \alpha / \text{linear dimension}$ の比が 1.5 附近にあると結論される。

**) K 同じ

--- 反射係数の理論値(St. Venant)

- 透過係数の " "
- ピークに対する D 桌での透過係数
- " " E " "
- wave front: 对する D 桌での透過係数
- " " E " "
- 反射係数

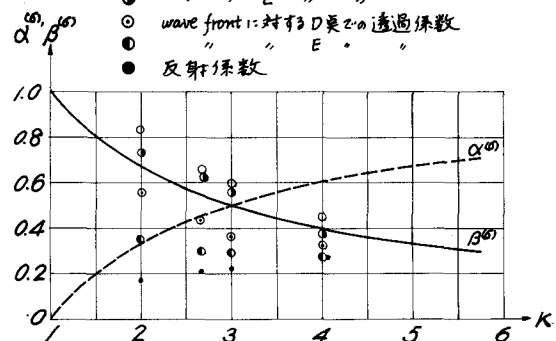


図-3 透過係数および反射係数